

УДК 621.375.7

## О ПРЕДЕЛЬНОМ ТОКЕ ЭЛЕКТРОННОГО ПУЧКА В ГОФРИРОВАННОМ ЛАЙНЕРЕ

B. Г. Гапанович

Исследовано равновесное состояние тонкого трубчатого сильноточного электронного пучка в гофрированном лайнере с специальной формой профиля, создающего синусоидальную в продольном направлении модуляцию кулоновского поля. Получено выражение для предельного тока. Исследовано влияние глубины и длины периода гофрировки на предельный ток и величину продольной модуляции электрического поля пучка.

В квазистатическом методе коллективного ускорения ионов, предложенном в работе [1], необходимо создавать пространственно-периодическую модуляцию кулоновского поля электронного пучка. Наиболее просто это достигается применением гофрированного лайнера, в котором распространяется сильноточный электронный пучок (СЭП) [2]. При практической реализации возникает задача выбора формы гофрировки лайнера, чтобы получить требуемое распределение электрического поля пучка. В работе [2] эта задача была рассмотрена как для сплошного, так и для трубчатого СЭП. Подобная задача в нерелятивистском пределе рассмотрена также в работе [3]. Развитый в работе [2] метод решения позволил определить профиль лайнера, создающий синусоидальную продольную модуляцию потенциала, а также получить ряд соотношений для оценки амплитуды электрического поля, модуляции плотности заряда и других параметров равновесного состояния трубчатого пучка. Однако эти соотношения получены для сравнительно частной геометрической конфигурации, когда радиус пучка совпадает с внутренним радиусом гофра. В настоящей работе, использующей в основном аналогичный подход, получено решение задачи в более общей постановке. Исследован важный для практики вопрос о предельном токе транспортировки и определены параметры равновесного состояния СЭП в гофре как при предельном, так и при допредельном значениях тока.

Пусть вдоль оси бесконечного цилиндрического гофрированного лайнера распространяется «замороженный» сильным продольным магнитным полем трубчатый СЭП с исчезающими малой толщиной стенки. Будем считать заданными ток пучка  $J$ , ускоряющее анодное напряжение  $U_a$  и геометрические параметры  $r_0$ ,  $r_1$ ,  $r_2$  и  $L$ , обозначающие соответственно радиус пучка, внутренний и внешний радиусы гофра и период гофрировки. Ниже используются безразмерные величины, причем потенциал нормируется на  $mc^2/e=0.51$  МВ, ток — на  $mc^3/e=17$  кА, а радиусы и длины — на  $k^{-1} \equiv L/2\pi$  ( $m$ ,  $e$ ,  $c$  — масса, заряд электрона и скорость света).

В системе координат  $x=kr$  и  $\xi=kz$  продольный профиль гофра описывается непрерывной и однозначной функцией  $f(x, \xi)=0$  (рис. 1). Эта функция будет детерминирована, если потребовать, например, чтобы при заданных выше параметрах пучка и гофра потенциал электрического поля пучка имел во внутренней области гофра гармоническую зависимость от продольной координаты вида

$$\varphi(x, \xi) = A(x) - B(x) \cos \xi.$$

В приближении «холодной» гидродинамики равновесное состояние пучка можно описать системой уравнений

$$\frac{1}{x} \frac{\partial}{\partial x} \left( x \frac{\partial \varphi}{\partial x} \right) + \frac{\partial^2 \varphi}{\partial \xi^2} = 0, \quad \partial j_\xi / \partial \xi = 0, \quad \varphi + \gamma = \gamma_a, \quad (1)$$

где  $j_\xi$  — плотность тока,  $\gamma$  — приведенная энергия электрона,  $\gamma_a = 1 + |U_a|$ . Соответствующее решение уравнения Лапласа для области I в полости пучка и для области II снаружи пучка имеет вид

$$\begin{aligned} \varphi_I &= C_1 + D I_0(x) \cos \xi, \quad 0 \leq x \leq x_0, \\ \varphi_{II} &= C_2 + E \ln x + [D I_0(x) + F K_0(x)] \cos \xi, \quad x > x_0, \end{aligned} \quad (2)$$

где  $x_0 = kr_0$ ;  $I_0(x)$  и  $K_0(x)$  — модифицированные функции Бесселя нулевого порядка;  $C_1, C_2, D, E, F$  — константы, которые конкретизируются условиями на границе пучка ( $x = x_0$ )

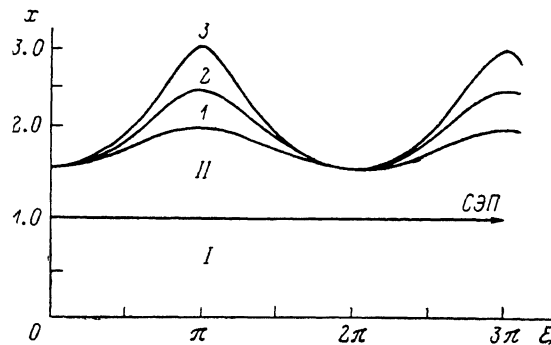


Рис. 1. Примеры продольного профиля лайнера с различной глубиной гофрировки при  $x_0 = 1$ ,  $x_1 = 1.5$ ,  $x_2 = 2.0$  (1),  $2.5$  (2) и  $3.0$  (3).

$$\varphi_I = \varphi_{II}, \quad \frac{\partial \varphi_I}{\partial x} - \frac{\partial \varphi_{II}}{\partial x} = 4\pi\sigma, \quad (3)$$

где  $\sigma$  — поверхностная плотность заряда. Пусть потенциал на границе пучка равен

$$\varphi = a(1 - \delta \cos \xi), \quad (4)$$

где  $a$  и  $\delta$  — среднее значение и глубина модуляции потенциала. Из равенств (1) получим выражение

$$\sigma = \frac{J}{2\pi x_0} \frac{\gamma_a - a(1 - \delta \cos \xi)}{\sqrt{[\gamma_a - a(1 - \delta \cos \xi)]^2 - 1}}. \quad (5)$$

Приближенно представим, как и в работе [2], периодическую функцию (5) гармонической функцией, имеющей такие же, что и (5), минимальные и максимальные значения (например, в точках  $\xi = 0$  и  $\pi$ ). Нетрудно убедиться, что аппроксимирующая функция имеет вид

$$\tilde{\sigma} = \frac{a}{4\pi} (p - q \cos \xi), \quad (6)$$

где

$$p = \frac{J}{x_0 a} \left\{ \frac{\gamma_a - a(1 + \delta)}{\sqrt{[\gamma_a - a(1 + \delta)]^2 - 1}} + \frac{\gamma_a - a(1 - \delta)}{\sqrt{[\gamma_a - a(1 - \delta)]^2 - 1}} \right\}, \quad (7)$$

$$q = \frac{J}{x_0 a} \left\{ \frac{\gamma_a - a(1 + \delta)}{\sqrt{[\gamma_a - a(1 + \delta)]^2 - 1}} - \frac{\gamma_a - a(1 - \delta)}{\sqrt{[\gamma_a - a(1 - \delta)]^2 - 1}} \right\}. \quad (8)$$

Теперь, используя граничные условия (3) с учетом (6), находим значения констант и получаем следующие выражения для потенциала:

$$\varphi_I/a = 1 - \delta \frac{I_0(x)}{I_0(x_0)} \cos \xi, \quad (9)$$

$$\varphi_{II}/a = 1 - px_0 \ln \frac{x}{x_0} - \left\{ qx_0 [I_0(x_0) K_0(x) - K_0(x_0) I_0(x)] + \delta \frac{I_0(x)}{I_0(x_0)} \right\} \cos \xi. \quad (10)$$

Потенциал на стенке металлического лайнера должен быть равен нулю, как это следует из закона сохранения энергии (1). Приравнивая нулю потенциал (10), получаем уравнение профиля гофра

$$1 - px_0 \ln \frac{x}{x_0} - \left\{ qx_0 [I_0(x_0) K_0(x) - K_0(x_0) I_0(x)] + \delta \frac{I_0(x)}{I_0(x_0)} \right\} \cos \xi = 0. \quad (11)$$

Искомые профиль и распределение потенциала, создаваемое гофром, будут найдены, если определить неизвестные пока четыре коэффициента  $p$ ,  $q$ ,  $\delta$  и  $a$ . Эти коэффициенты находятся из следующей системы уравнений:

$$px_0 \ln \frac{x_1}{x_0} + qx_0 [I_0(x_0) K_0(x_1) - K_0(x_0) I_0(x_1)] + \delta \frac{I_0(x_1)}{I_0(x_0)} = 1,$$

$$px_0 \ln \frac{x_2}{x_0} - qx_0 [I_0(x_0) K_0(x_2) - K_0(x_0) I_0(x_2)] - \delta \frac{I_0(x_2)}{I_0(x_0)} = 1,$$

$$p + q = \frac{2J}{x_0 a} \frac{\gamma_a - a(1 + \delta)}{\sqrt{[\gamma_a - a(1 + \delta)]^2 - 1}},$$

$$p - q = \frac{2J}{x_0 a} \frac{\gamma_a - a(1 - \delta)}{\sqrt{[\gamma_a - a(1 - \delta)]^2 - 1}},$$

где  $x_1 = kr_1$  и  $x_2 = kr_2$ .

Первая пара системы уравнений представляет собой условие, чтобы профиль гофра проходил через две заданные точки с координатами  $(x, \xi)$ , равными  $(x_1, 0)$  и  $(x_2, \pi)$ . Вторая пара является следствием уравнений (7) и (8). Можно свернуть систему к одному уравнению относительно  $\delta$  вида

$$\frac{(\alpha_1 + \alpha_2)\delta + \varepsilon_1 + \varepsilon_2}{(\alpha_1 - \alpha_2)\delta + \varepsilon_1 - \varepsilon_2} = \frac{\gamma_* \sqrt{\left[ \gamma_a - (\gamma_a - \gamma_*) \frac{1 - \delta}{1 + \delta} \right]^2 - 1}}{\sqrt{\gamma_*^2 - 1} \left[ \gamma_a - (\gamma_a - \gamma_*) \frac{1 - \delta}{1 + \delta} \right]}. \quad (12)$$

При этом остальные коэффициенты выражаются через  $\delta$  следующим образом:

$$p = \alpha_1 \delta + \varepsilon_1, \quad q = \alpha_2 \delta + \varepsilon_2, \quad a = (\gamma_a - \gamma_*)/(1 + \delta), \quad (13a) - (13b)$$

$$J = \sqrt{\gamma_*^2 - 1} (\gamma_a - \gamma_*) x_0 [(\alpha_1 + \alpha_2)\delta + \varepsilon_1 + \varepsilon_2]/2\gamma_*(1 + \delta). \quad (13c)$$

В уравнении (12) вместо тока  $J$  фигурирует параметр  $\gamma_*$  — энергия (минимальная) электрона в точке  $\xi = \pi$ . Остальные величины зависят только от геометрических размеров и равны

$$\alpha_1 = [I_0(x_2) K_0(x_1) - I_0(x_1) K_0(x_2)]/G, \quad (14a)$$

$$\varepsilon_1 = \{I_0(x_0) [K_0(x_1) + K_0(x_2)] - K_0(x_0) [I_0(x_1) + I_0(x_2)]\}/G, \quad (14b)$$

$$\alpha_2 = - \left[ I_0(x_1) \ln \frac{x_2}{x_0} + I_0(x_2) \ln \frac{x_1}{x_0} \right] / I_0(x_0) G, \quad (14c)$$

$$\varepsilon_2 = \ln \frac{x_2}{x_1} / G, \quad (14d)$$

$$G = x_0 \ln \frac{x_1}{x_0} [I_0(x_0) K_0(x_2) - K_0(x_0) I_0(x_2)] + \\ + x_0 \ln \frac{x_2}{x_0} [I_0(x_0) K_0(x_1) - K_0(x_0) I_0(x_1)]. \quad (14e)$$

Приближенное решение уравнения (12) можно получить, линеаризуя по  $\delta$  радикал в правой части и приводя к квадратичному уравнению

$$[(2\gamma_a \gamma_*^2 - \gamma_*^3 - \gamma_a) \alpha_2 - (\gamma_a - \gamma_*) \alpha_1] \delta^2 + [\gamma_* (\gamma_*^2 - 1) \alpha_2 + (2\gamma_a \gamma_*^2 - \gamma_*^3 - \gamma_a) \epsilon_2 - (\gamma_a - \gamma_*) \epsilon_1] \delta + \gamma_* (\gamma_*^2 - 1) \epsilon_2 = 0. \quad (15)$$

Из двух корней выбирается тот, который удовлетворяет очевидному условию  $0 \leq \delta \leq 1$ . Мы не будем выписывать громоздкое выражение для  $\delta$ , а лишь отметим, что точность приближенного решения, как правило, не хуже 5–10 %.

На рис. 2 приведены результаты расчета параметров равновесного состояния  $J$ ,  $\delta$  и  $\mu = q/p$  в зависимости от  $\gamma_*$ . Величина  $\delta$  определялась путем численного решения уравнения (12). Из рис. 2 видно, в частности, что кривая  $J(\gamma_*)$  имеет характерный вид, как и в гладкой трубе [4]. Предельный ток пучка, соответствующий максимуму этой кривой, легко определяется из анализа на

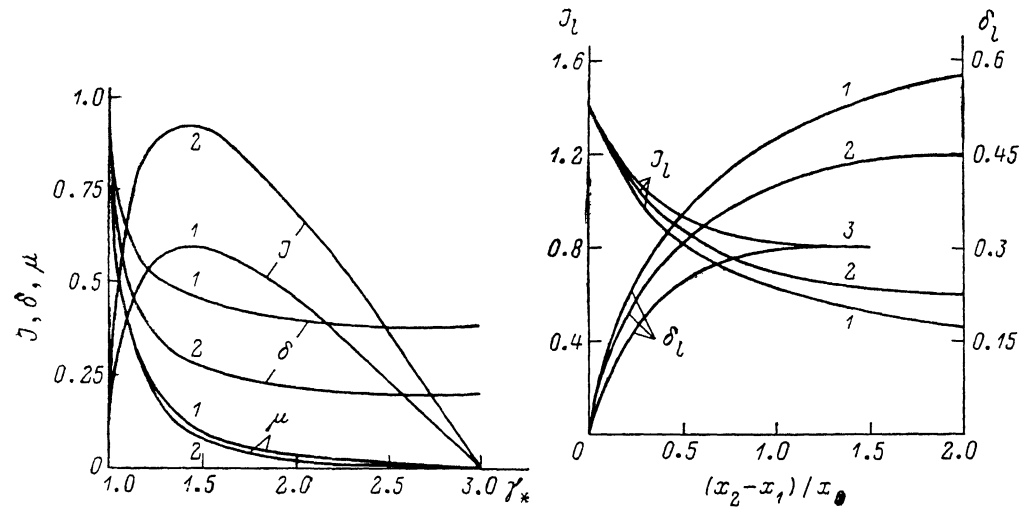


Рис. 2. Ток пучка  $J$ , модуляция поля  $\delta$  и модуляция плотности заряда  $\mu = q/p$  как функции энергии электрона  $\gamma_*$  для двух значений глубины гофра  $(x_2 - x_1)/x_0 = 2.0$  (1) и  $0.4$  (2),  $\gamma_a = 3$ ,  $x_0 = 0.6$ ,  $x_1 = 0.9$ .

Рис. 3. Предельный ток  $J_l$  и модуляция поля  $\delta_l$  в зависимости от глубины гофра для трех значений параметра ( $k = 0.1$  (1),  $0.3$  (2) и  $0.5 \text{ см}^{-1}$  (3)) при  $\gamma_a = 3$ ,  $r_0 = 2 \text{ см}$ ,  $r_1 = 3 \text{ см}$ .

экстремум выражения (13г). Предельные значения, которые пометим индексом « $l$ », равны

$$\gamma_l = \gamma_a^{1/2}, \\ J_l = (\gamma_a^{2/3} - 1)^{3/2} x_0 [(\alpha_1 + \alpha_2) \delta_l + \epsilon_1 + \epsilon_2]/2(1 + \delta_l). \quad (16)$$

Глубина модуляции потенциала находится из уравнения (12) при  $\gamma_* = \gamma_l$ . Приближенное ее значение равно

$$\delta_l = \{\epsilon_1 - 2\gamma_a^{2/3}\epsilon_2 - \alpha_2 - [(\epsilon_1 - 2\gamma_a^{2/3}\epsilon_2 - \alpha_2)^2 - 4\epsilon_2 (2\gamma_a^{2/3}\alpha_2 - \alpha_1)]^{1/2}\}/(4\gamma_a^{2/3}\alpha_2 - 2\alpha_1). \quad (17)$$

В случае равенства большого и малого радиусов, когда гофр вырождается в гладкую трубу, соотношение (16) дает известную формулу предельного тока тонкого трубчатого СЭП [4]

$$J_l = (\gamma_a^{2/3} - 1)^{3/2}/2 \ln \frac{x_2}{x_0}.$$

Исследуем теперь характер полученных решений при изменении глубины гофра или его периода. Численный анализ решения показал, что существует ограничение на выбор максимальной глубины гофра, связанное с использованием приближения (6). Оказалось, что если задать глубину гофра  $\Delta x = x_2 - x_1$ , превышающую некоторую величину  $\Delta x_{\text{опт}}$ , то в уравнении профиля гофра (11) появится второе решение, которое будет меньше основного. Это приведет к тому, что все вычисленные параметры фактически будут соответствовать гофру с меньшей, чем  $\Delta x_{\text{опт}}$ , глубиной. Оценим величину  $\Delta x_{\text{опт}}$ . Это можно сделать из анализа на экстремум соотношения (14 г). Разложив функцию  $d\varepsilon_2/dx_2$  в ряд по степеням  $\Delta x$

$$d\varepsilon_2/dx_2 \simeq [K_0(x_0)I_0(x_1) - I_0(x_0)K_0(x_1)]\left(\frac{\Delta x^2}{2} + \Delta x - 2\right)$$

и приравняв нулю, получим

$$\Delta x_{\text{опт}} = \sqrt{5} - 1 \quad \text{или} \quad \Delta r_{\text{опт}} = (r_2 - r_1)_{\text{опт}} \simeq \frac{\sqrt{5} - 1}{2\pi} L.$$

Найденные выше выражения для параметров равновесного состояния пучка нужно применять тогда, когда глубина гофра не превышает  $\Delta r_{\text{опт}}$ .

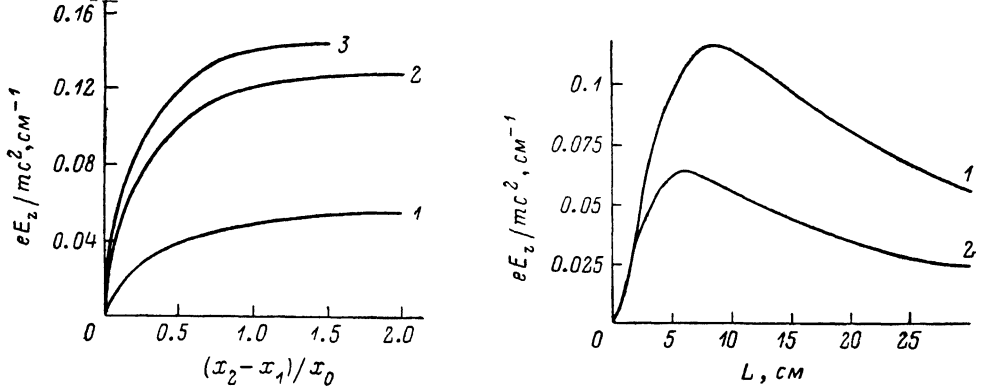


Рис. 4. Амплитуда продольного электрического поля на оси пучка в зависимости от глубины гофра при различных  $k$ .  $J = J_1$ , остальные параметры те же, что и на рис. 3.

Рис. 5. Амплитуда продольного электрического поля на границе пучка в зависимости от длины периода гофрировки при  $J = 6$  кА,  $\gamma_a = 3$ ,  $r_0 = 1$  см,  $r_1 = 1.5$  см,  $r_2 = 3$  см (1) и  $r_0 = 1.8$  см,  $r_1 = 2.2$  см,  $r_2 = 3$  см (2).

На рис. 3, 4 представлены семейства графиков предельного тока, глубины модуляции потенциала и амплитуды продольного электрического поля как функций глубины гофра для нескольких значений периода гофрировки. Видно, что особенностью этих зависимостей является выход всех величин на насыщение при увеличении глубины гофра вплоть до  $\Delta x_{\text{опт}}$ .

Рис. 5 иллюстрирует зависимость амплитуды продольного электрического поля пучка от длины периода гофрировки. Видим, что существует оптимальная длина периода, при которой амплитуда поля максимальная. Анализ численных результатов показывает, что при  $r_1/r_0 \geq 1.2$

$$L_{\text{опт}} \simeq \frac{2\pi}{\sqrt{5} - 1} r_1 \ln \frac{r_2}{r_0}.$$

Полученные соотношения позволяют выбрать оптимальные размеры гофра, при которых можно получить наибольшую амплитуду ускоряющего поля.

Автор выражает благодарность Р. А. Мещерову за полезное обсуждение результатов.

## Литература

- [1] Беликов В. В., Лымарь А. Г., Хижняк Н. А. Письма в ЖТФ, 1975, т. 1, № 13, с. 615—618.
- [2] Лебедев А. Н., Пазин К. Н. Атомная энергия, 1976, т. 41, № 4, с. 244—247.
- [3] Лымарь А. Г., Папкович В. Г., Хижняк Н. А. ЖТФ, 1979, т. 49, № 1, с. 196—198.
- [4] Агафонов А. В., Воронин В. С., Лебедев А. Н., Пазин К. Н. ЖТФ, 1974, т. 44, № 9, с. 1909—1916.

Поступило в Редакцию

11 февраля 1986 г.

В окончательной редакции  
4 января 1987 г.

---